УДК 535.530.182

# НЕЛИНЕЙНОЕ ВОЗБУЖДЕНИЕ ЛЮМИНЕСЦЕНЦИИ ШИРОКОЗОННЫХ КРИСТАЛЛОВ ФЕМТОСЕКУНДНЫМ ЛАЗЕРНЫМ ИЗЛУЧЕНИЕМ

© 2024 г. В. И. Барышников<sup>1,\*</sup>, О. В. Горева<sup>1</sup>, Т. А. Колесникова<sup>1</sup>, О. Л. Никонович<sup>1</sup>, Ю. А. Мурзина<sup>1</sup>

<sup>1</sup>Федеральное государственное бюджетное образовательное учреждение высшего образования «Иркутский государственный университет путей сообщения», Иркутск, Россия

\* E-mail: vibh@rambler.ru
Поступила в редакцию 19.02.2024
После доработки 18.03.2024
Принята к публикации 29.03.2024

Исследованы особенности нелинейного возбуждения фотолюминесценции широкозонных кристаллов фемтосекундным лазерным излучением. Установлено, что в ходе многофотонной ионизации собственного вещества кристаллов возбуждение собственной  $2pO^{2-}$  валентной фотолюминесценции имеет длинноволновый порог. Выход фотолюминесценции примесей, возбуждаемой захватом наведенных зонных электронов и дырок в ходе нелинейной ионизации вещества, достигает насыщения с увеличением интенсивности фемтосекундных лазерных импульсов.

*Ключевые слова:* фемтосекундный Ti:  $Al_2O_3$ -лазер, многофотонная ионизация кристаллов, фотолюминесценция церия, валентная  $2pO^{2-}$ -люминесценция

**DOI:** 10.31857/S0367676524070029, **EDN:** PCYPWF

### **ВВЕДЕНИЕ**

Интенсивное фемтосекундное лазерное облучение широкозонных особо чистых и номинальной чистоты кристаллов:  $H_2O$ ;  $Al_2O_3$ ;  $SiO_3$ ;  $YAlO_3$ ;  $Y_2Al_5O_{12}$ ; Ti: BeAl<sub>2</sub>O<sub>4</sub>; MgSiO<sub>5</sub> и др. сопровождается  $2pO^{2-}$  валентной фотолюминесценцией (ФЛ) собственного вещества [1, 2] и ФЛ примесных ионов металлов редкоземельной и переходной группы [3, 4]. Основой электронно-дырочных механизмов возбуждения указанной ФЛ является нелинейная ионизация собственного вещества при взаимодействии плотного фемтосекундного лазерного излучения с кристаллами [5—7]. Данный подход нелинейного фемтосекундного лазерного возбуждения ФЛ в широкозонных радиационно стойких кристаллах по уровню ионизации собственного вещества близок к воздействию сильноточных наносекундных электронных пучков [8]. Поэтому исследования особенностей нелинейного фемтосекундного лазерного возбуждения ФЛ указанной группы кристаллов, легированных ионами металлов редкоземельной и переходной группы, актуальны, как для разработки лазерных сред [9, 10] и элементов светодиодных излучателей [11, 12], так и кристаллических импульсных преобразователей рентгеновского изображения и сцинтилляторов [13]. Фемтосекундное лазерное возбуждение кристаллов позволяет выявить кинетику формирования возбужденных состояний собственных и примесных ионов и их короткоживущие зарядовые состояния [8]. Вместе с тем, для изучения фундаментальных особенностей нелинейного взаимодействия интенсивного фемтосекундного лазерного излучения с кристаллами необходимы исследования пороговых условий многофотонной ионизации собственного вещества, при которых возможно возбуждение собственной  $2pO^{2-}$  ФЛ. Кроме того, представляет значительный интерес возможность достижения  $\sim 100\%$  возбужденного состояния примесного состава в зависимости от частоты следования фемтосекундных импульсов и времени жизни ФЛ примесей.

### ОБЪЕКТЫ, МЕТОДЫ И ТЕХНИКА ЭКСПЕРИМЕНТА

В экспериментах использовали полированные монокристаллы ( $10\times5\times5$  мм): особо чистые  $Al_2O_3$  (примесей <  $10^{-7}$  вес. %); номинальной чистоты ( $\sim10^{-5}$  вес. %) —  $Y_3Al_5O_{12}$ ; YAlO $_3$ . Для сравнения были измерены спектры ФЛ таких же по размерам монопримесных кристаллов Ce: YAlO $_3$  (Ce $^{3+}$  0.1 вес. %) и Ce:  $Y_3Al_5O_{12}$  (Ce $^{3+}$  0.1 вес. %).

Собственную  $2pO^{2-}$  ФЛ и ФЛ примесей исследовали в режиме нелинейного возбуждения второй гармоникой фемтосекундного (50 фс) перестраиваемого (360—440 нм) Ті:  $Al_2O_3$  лазера ТІГ-50. Спектральные и временные параметры фемтосекундных лазерных импульсов контролировали соответственно с помощью спектрометра ASP-100M и автокоррелятора на основе прецизионного интерферометра Майкельсона. Работой спектрометра и интерферометра управляли посредством специального программного обеспечения.

Прецизионная система юстировки широкополосного сферического зеркала и продольного перемещения исследуемого кристалла обеспечивала плавную регулировку интенсивности в кристалле лазерного фемтосекундного пучка, вплоть до области гауссовой перетяжки. Импульсная интенсивность лазерного излучения находилась в диапазоне значений 0.02—2.5 ГВт⋅см<sup>-2</sup>.

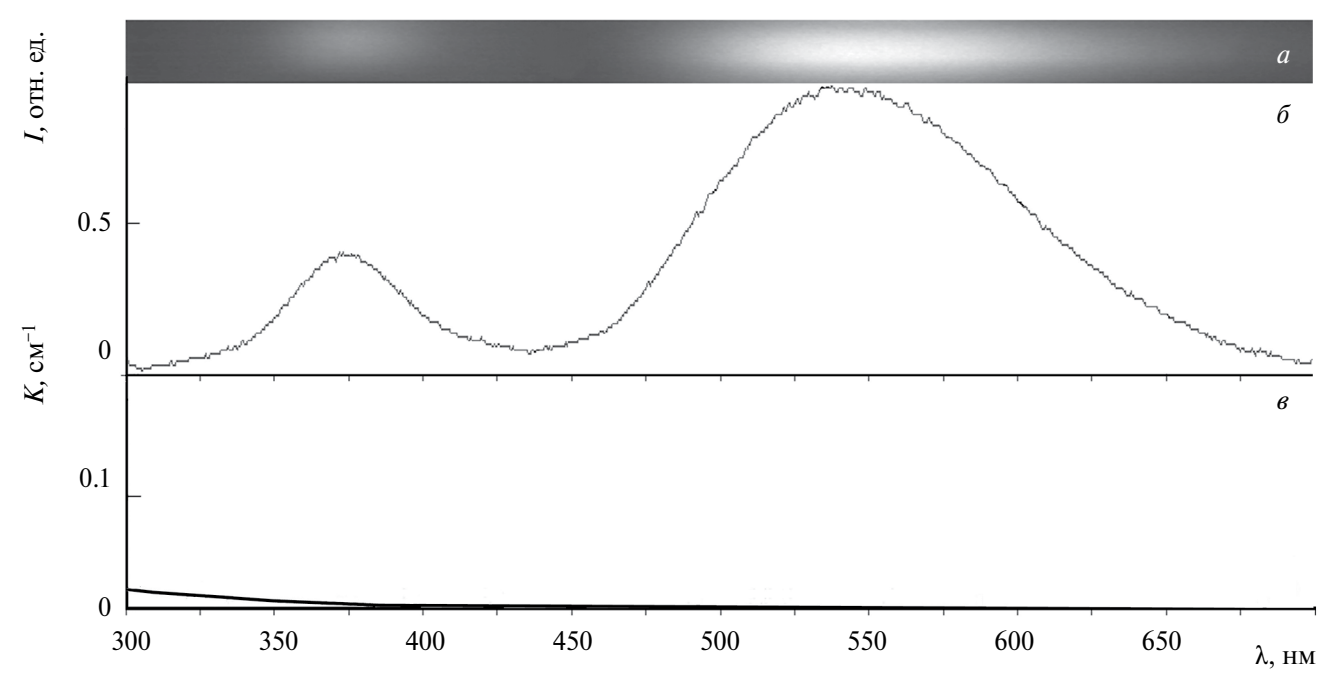
Фемтосекундные лазерные импульсы посредством юстировочной системы, направляли на торцевую поверхность кристалла под углом полного внутреннего отражения. С противоположной поверхности кристалла излучение фемтосекундного лазера прошедшее кристалл направляли через кварцевую призму на два *p-i-n* фотодиода (\$1722-O1, Hamamatsu) с двухканальным осциллографом Tektronix TDS3032B. Синхронное измерение одноимпульсных спектров ФЛ выполняли под углом 90° к оси лазерного луча в кристалле. Одноимпульсные спектры регистрировали системой, состоящей из спектрографа МДР-4, стробируемого с наносекундным разрешением микроканальный электронно-оптический преобразователя (ЭОП), импульсной

ПЗС-матрица с объективом и модуля микропроцессорного управления, контроля и передачей данных. ЭОП запускается через быстродействующий цифровой блок задержки с наносекундной точностью по фронту лазерного импульса. Выбор оптимальной чувствительности импульсной ЭОП-ПЗС-системы обеспечивался специальным программным обеспечением. Спектры стационарного оптического поглощения были измерены спектрометром PerkinElmer при 300 К.

Наносекундная фотопроводимость кристаллов при многофотонном возбуждении собственной  $2pO^{2-}$  ФЛ и ФЛ примесей измерена по методике, подробно изложенной в работе [8].

## РЕЗУЛЬТАТЫ ЭКСПЕРИМЕНТОВ И ИХ ОБСУЖДЕНИЕ

В кристаллах номинальной чистоты  $Y_3Al_5O_{12}$  ( $Ce^{3+}\sim 10^{-5}$  вес. %), возбуждаемых излучением  $2\omega$ : Ті: Sp лазера (50 фс, 390 нм, 100 МВт·см<sup>-2</sup>) вне полосы поглощения ионов  $Ce^{3+}$  при экспозиции спектрографа 150 нс и синхронным наблюдением в каналах p-i-n фотодиодов установлено, что ФЛ УФ полосы (325—425 нм,  $\lambda_m = 370$  нм) затухает при 300 К с  $\tau < 1$  нс, а в спектральном диапазоне излучения (480—675 нм,  $\lambda_m = 530$  нм) наблюдается спектр ФЛ с  $\tau = 125$  нс (рис. 1). Согласно предварительным данным, полосу ФЛ при 530 нм с  $\tau = 125$  нс можно отнести к излучению ионов  $Ce^{3+}$ . Для проверки, в этих же условиях эксперимента, использован кристалл Ce:  $Y_3Al_5O_{12}$  легированный церием ( $Ce^{3+}$  0.1 вес. %). В данном эксперименте наблюдается интенсивная полоса ФЛ



**Рис. 1.** Спектрограмма (*a*) и одноимпульсный спектр ФЛ Се<sup>3+</sup> и валентной  $2pO^2$ – ФЛ в номинальной чистоты кристаллах  $Y_3Al_5O_{12}$  при 300 К (*б*). Возбуждение  $2\omega$ : Ті: Sp лазера:  $\lambda = 390$  нм; 50 фс; 0.1 ГВт·см<sup>-2</sup>. Регистрация: задержка 5 нс, экспозиция 100 нс. Стационарный спектр оптического поглощения (*в*).

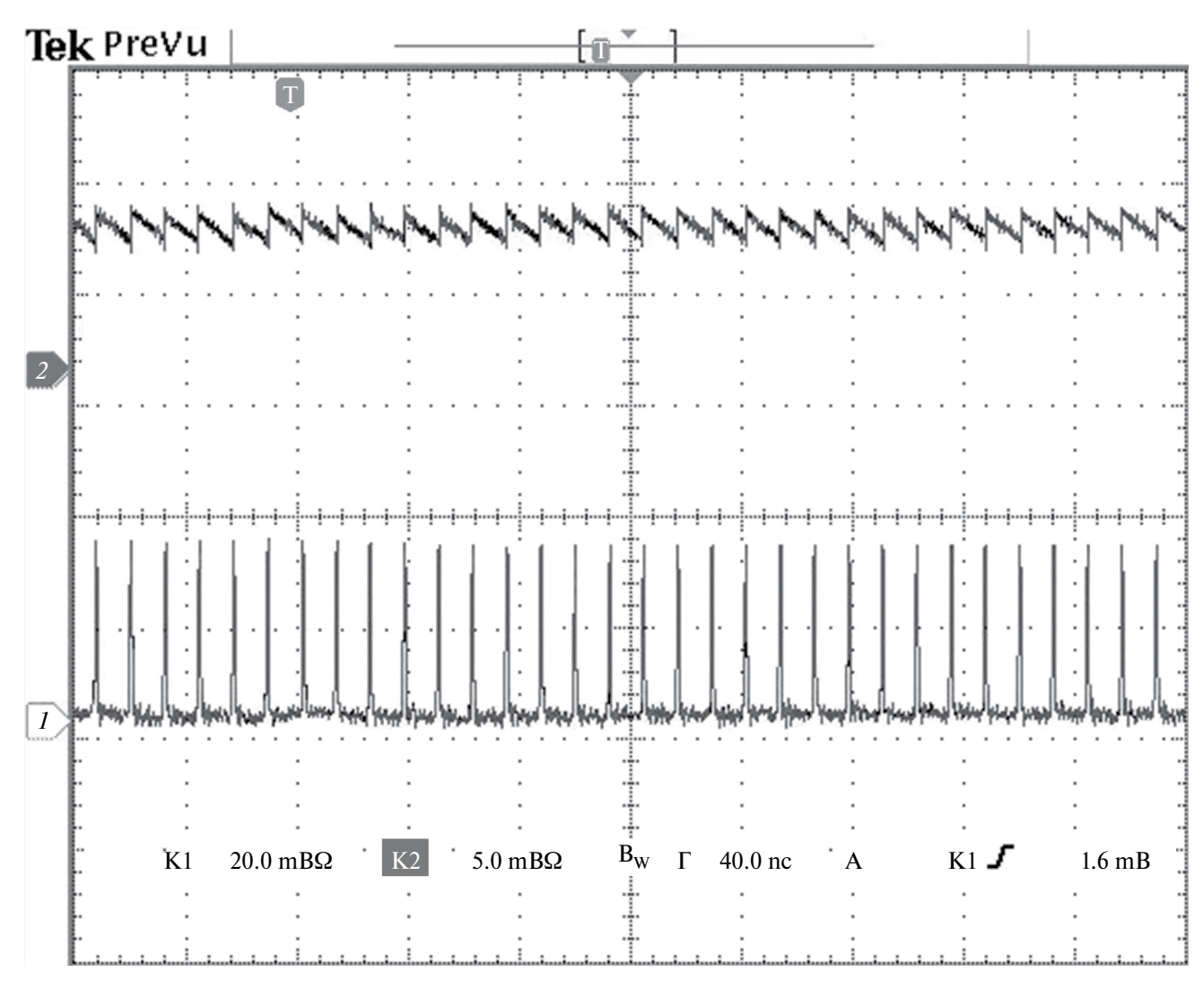
 $Ce^{3+}$  с  $\lambda_m = 530$  нм и  $\tau = 125$  нс. Полученный результат позволяет отнести данную полосу  $\Phi \Pi$  к излучению ионов  $Ce^{3+}$  (5d-4f электронные переходы).

Ранее нами установлено, что при внутрицентровом возбуждении ионов  $Ce^{3+}$  в кристаллах  $Y_3Al_5O_{12}$  время затухания  $\Phi$ Л составляет 60 нс, а при последовательном захвате ионами  $Ce^{3+}$  наведенных при ионизации собственного вещества зонных дырок (h) и электронов (e) возникает  $\Phi$ Л с  $\tau=125-140$  нс [14]. Таким образом, в номинально чистых кристаллах  $Y_3Al_5O_{12}$  возбуждение наблюдаемой  $\Phi$ Л с полосой при 530 нм и  $\tau=125$  нс происходит путем захвата наведенных зонных дырок и электронов в результате трехфотонной ионизации собственного вещества согласно неравенству 3hv=9.5 эВ  $>E_g=6.5$  эВ, где  $E_g$  — ширина запрещенной зоны.

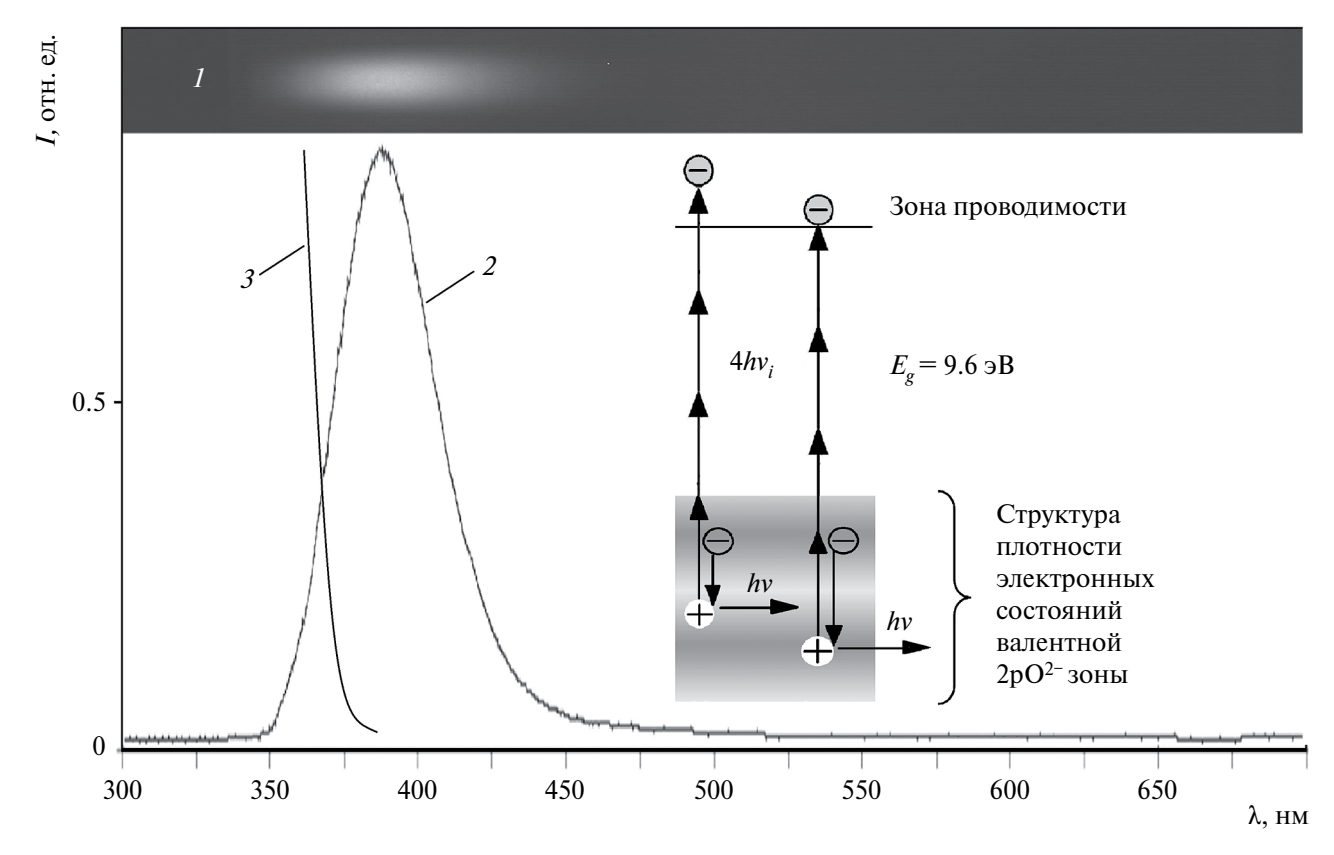
Как отмечено выше, в кристаллах номинальной чистоты  $Y_3Al_5O_{12}$  синхронно с полосой ФЛ при 530 нм зарегистрирована малоинерционная ФЛ в полосе при 370

нм (рис. 1) с  $\tau$  < 1 нс (рис. 2). Данный вид люминесценции нельзя отнести к излучению примесных дефектов в кристалле  $Y_3Al_5O_{12}$ , поскольку выход этой  $\Phi$ Л и время затухания не зависят от температуры в диапазоне 78—900 К. Идентичные особенности малоинерционной 2рO²-  $\Phi$ Л в полосе 390 нм с  $\tau$  < 1 нс наблюдаются в ходе трехфотонного возбуждения излучением  $4\omega$ : Ti: Sp лазера (100 фс; 210 нм; 1.0 ГВт·см²) при 78—900 К особо чистых кристаллов  $Al_2O_3$  [1]. Сравнение полученных результатов указывает на принадлежность независящей от температуры малоинерционной ( $\tau$  < 1)  $\Phi$ Л в полосе при 370 нм к валентной 2рO²-  $\Phi$ Л при возбуждении кристаллов  $Y_3Al_5O_{12}$  в режиме трех фотонной ионизации собственного вещества.

Распределение плотности состояний валентной зоны для оксидных соединений с решеткой класса NaCl имеет типичную структуру, состоящую из двух слегка перекрывающихся полос (подзон) [15,16]. Энергетическое распределение плотности состояний



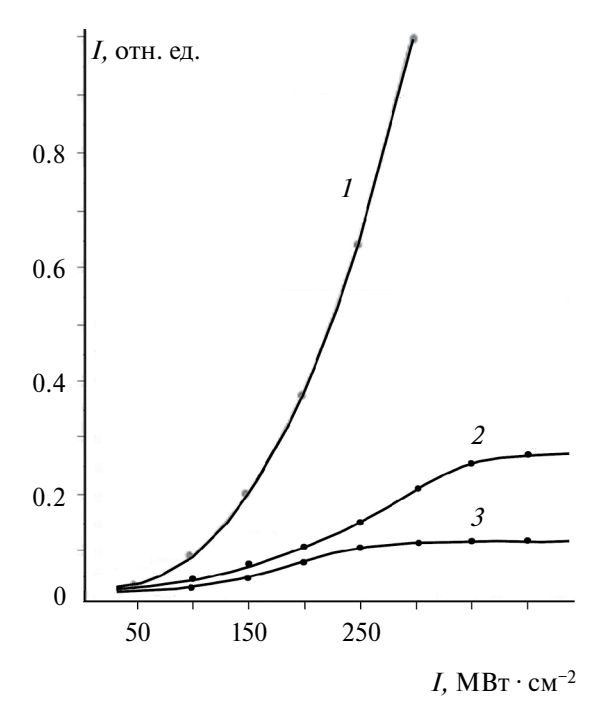
**Рис. 2.** Осциллограмма импульсов ФЛ номинальной чистоты кристаллов  $Y_3Al_5O_{12}$  при 300 К: валентной  $2pO^{2-}$  в полосе при 380 нм (*I*) и  $Ce^{3+}$  при 530 нм (*2*), возбуждаемой излучением  $2\omega$ : Ti: Sp лазера (400 нм; 50 фс; 80 МГц; 0.1 ГВт·см<sup>-2</sup>).



**Рис. 3.** Спектрограмма (*1*) и спектр (*2*) валентной  $2pO^{2-}$  ФЛ особо чистого кристалла  $Al_2O_3$  при четырехфотонном возбуждении излучением 2 $\omega$ : Ті:  $Al_2O_3$  лазера (50 фс; 360 нм; 1.5 ГВт·см<sup>-2</sup>). Регистрация: задержка 5 нс, экспозиция 10 нс. Спектр четырехфотонного возбуждения  $2pO^{2-}$  ФЛ (*3*). Слева структура валентной  $2pO^{2-}$  зоны и механизм нелинейного возбуждения  $2pO^{2-}$  валентной ФЛ.

 $2pO^{2-}$  валентной зоны кристалла  $Al_2O_3$  согласуются со спектральными параметрами малоинерционной ФЛ, возбуждаемой фемтосекундными импульсами 2ω: Ті: Sp лазера (50 фс; 360 нм; 1.5 ГВт·см<sup>-2</sup>) в режиме четырехфотонной ионизации собственного вещества (рис. 3). Приведенный на рис. 3 нелинейный механизм возбуждения валентной  $2pO^{2-}\Phi\Pi$  в особо чистом кристалле Al<sub>2</sub>O<sub>3</sub> показывает, что должна быть длинноволновая граница нелинейного возбуждения  $2pO^{2-}$  валентной  $\Phi \Pi$ . В эксперименте при сохранении исходной интенсивности 1.5 ГВт·см<sup>-2</sup> зарегистрирован длинноволновый порог четырех фотонного возбуждения УФ валентной  $2pO^{2-}$  ФЛ равный 13.0 эВ (рис. 3). При измерении четырех фотонного спектра возбуждения в спектральном интервале 11.0—13.8 эВ регистрировали импульсный ток фотопроводимости. В кристаллах  $Y_3Al_5O_{12}$  и  $YAlO_3$  длинноволновый порог трехфотонного возбуждения УФ валентной  $2pO^{2-}$  ФЛ соответственно равен 9.5 эВ и 10.0 эВ.

Выход ФЛ валентной  $2pO^{2-}$  в кристаллах номинальной чистоты  $Y_3Al_5O_{12}$  и  $YAlO_3$  с увеличением интенсивности лазерного возбуждения растет с кубической закономерностью. При этом выход ФЛ примесных ионов  $Ce^{3+}$  от кристалла к кристаллу имеет разный уровень насыщения (рис. 4). Это означает, что при



**Рис. 4.** Зависимость выхода валентной  $2pO^2$  ФЛ в  $Y_3Al_5O_{12}$  (I) и ФЛ  $Ce^{3+}$  в  $Y_3Al_5O_{12}$  (2),  $Ce: YAlO_3$  (3) при 300 K от интенсивности возбуждения излучением  $2\omega: Ti: Sp$  лазера:  $\lambda = 360$  нм, 50 фс. Кристаллы номинальной чистоты.

частоте следования фемтосекундных лазерных возбуждающих импульсов (80 МГц), когда интервал между импульсами ~ 12 нс  $\ll \tau = 125$  нс ФЛ  $Ce^{3+}$  в  $Y_3Al_5O_{12}$ , основная доля ионов  $Ce^{3+}$  находится в возбужденном состоянии, и рост ФЛ прекращается (рис. 3, 4).

Таким образом, в номинальной чистоты широкозонных кислородсодержащих кристаллах под действием интенсивного излучения 2ω: Ті: Sp перестраиваемого лазера (50 фс, 360—440 нм, 50—500 MBт·см<sup>-2</sup>) возбуждение ФЛ примесного состава происходит путем последовательного захвата зонных электронов и дырок наведенных в процессе нелинейной ионизации собственного вещества согласно неравенству  $nhv > E_{o}$ , где hv — энергия фотонов в лазерном импульсе; n = 3, 4. При частоте следования (80 МГц) возбуждающих фемтосекундных лазерных импульсов, когда интервал между импульсами  $T \ll \tau_a$ , где  $\tau_a$ время жизни примеси в возбужденном состоянии, с увеличением интенсивности облучения выход ФЛ примесного состава достигает насыщения. Тогда, как выход  $2pO^{2-}$  валентной  $\Phi Л$  в указанных кристаллах с увеличением интенсивности фемтосекундного лазерного возбуждения растет с закономерностью  $nhv > E_g + E_b$ , где n = 3, 4;  $E_b -$  энергия длинноволнового порога возбуждения  $У\Phi$  валентной  $2pO^{2-}\Phi \Pi$ .

### СПИСОК ЛИТЕРАТУРЫ

- 1. *Барышников В.И., Колесникова Т.А.* // Опт. и спектроск. 2003. Т. 95. № 4. С. 637; *Baryshnikov V.I., Kolesnikova Т.А.* // Opt. Spectrosc. 2003. V. 95. No. 4. P. 594.
- 2. Барышников В.И., Колесникова Т.А., Дорохов С.В. // Неорг. матер. 1998. Т. 34. № 8. С. 990; Baryshnikov V.I., Kolesnikova T.A., Dorokhov S.V. // Inorg. Mater. 1998. V. 34. No. 8. P. 827.
- 3. *Чекалин С.В.* // УФН. 2006. Т. 176. № 6. С. 657; *Chekalin S.V.* // Phys. Usp. 2006. V. 49. No. 6. P. 634.
- Барышников В.И., Суханова Ю.А., Колесникова Т.А., Никонович О.Л. // Изв. РАН. Сер. физ. 2022. Т. 86.
   № 7. С. 944; Baryshnikov V.I., Sukhanova Yu.A.,

- Kolesnikova T.A., Nikonovich O.L. // Bull. Russ. Acad. Sci. Phys. 2022. V. 86. No. 7. P. 787.
- 5. Бондарев М.А., Иванов А.В., Перлин Е.Ю. // Опт. и спектроск. 2012. Т. 112. № 1. С. 109; Bondarev M.A., Ivanov A.V., Perlin E. Yu. // Opt. Spectrosc. 2012. V. 112. No. 1. P. 106.
- 6. *Барышников В.И., Колесникова Т.А.* // ФТТ. 2005. T. 47. № 10. C. 1776; *Baryshnikov V.I., Kolesnikova Т.А.* // Phys. Solid State. 2005. V. 47. No. 10. P. 1847.
- 7. *Халяпин В.А., Бугай А.Н.* // Изв. РАН. Сер. физ. 2022. Т. 86. № 1. С. 29; *Khalyapin V.A., Bugay A.N.* // Bull. Russ. Acad. Sci. Phys. 2022. V. 86. No. 1. P. 13.
- 8. Барышников В.И., Горева О.В., Григорьева Ю.А., Ни-конович О.Л. // Опт. и спектроск. 2019. Т. 126. № 3. С. 336; Baryshnikov V.I., Goreva O.V., Grigor'eva Y.A., Nikonovich O.L. // Opt. Spectrosc. 2019. V. 126. No. 3. P. 257.
- 9. *Семашко В.В.* // ФТТ. 2005. Т. 47. № 8. С. 1450; *Semashko V.V.* // Phys. Solid State. 2005. V. 47. No. 8. P. 1507.
- 10. *Ахтямов О.Р., Низамутдинов А.С., Семашко В.В. и др.* // Изв. вузов. Физика. 2013. Т. 56. № 2/2. С. 39.
- 11. *Рэканов А.Г.* // Изв. РАН. Сер. физ. 2023. Т. 87. № 4. С. 588; *Rzhanov A.G.* // Bull. Russ. Acad. Sci. Phys. 2023. V. 87. No. 4. P. 510.
- 12. Chen Q., Li Z., Chen K. et al. // Opt. Express. 2016. V. 24. No. 15. P. 16695.
- 13. *Барышников В.И., Колесникова Т.А.* Способ наносекундной микродозовой рентгеновской диагностики. Патент РФ № 2619852, кл. G01N23/04. 2017.
- 14. *Барышников В.И.*, *Болондзь А.В.* // Изв. вузов. Физика. 2011. Т. 54. № 2/2. С. 53.
- Pantelides S.T. // Phys. Rev. B. 1975. V. 11. No. 12. P. 5082.
- 16. Барышников В.И., Щепина Л.И., Колесникова Т.А., Мартынович Е.Ф. // ФТТ. 1990. Т. 32. № 6. С. 1888; Baryshnikov V.I., Shchepina L.I., Kolesnikova Т.А., Martynovich E.F. // Sov. Phys. Solid State. 1990. V. 32. No. 6. P. 1103.

### Nonlinear excitation of luminescence of wide-gap crystals by femtosecond laser emission

V. I. Baryshnikov<sup>1, \*</sup>, O. V. Goreva<sup>1</sup>, T. A. Kolesnikova<sup>1</sup>, O. L. Nikonovich<sup>1</sup>, Yu. A. Murzina<sup>1</sup>

<sup>1</sup> Irkutsk State Transport University, Irkutsk, 664074, Russia \*e-mail: vibh@rambler.ru

The features of nonlinear excitation of photoluminescence of wide-gap crystals by femtosecond laser emission have been studied. It has been established that during multiphoton ionization of the intrinsic substance of crystals, the excitation of intrinsic  $2pO^{2-}$  valence photoluminescence has a long-wave threshold. The photoluminescence yield of impurities, excited by the capture of induced band electrons and holes during the nonlinear ionization of a substance, reaches saturation with increasing intensity of femtosecond laser pulses.

Keywords: femtosecond Ti:  $Al_2O_3$  laser, multiphoton ionization of crystals, cerium photoluminescence, valence  $2pO^{2-}$  luminescence